

中央大学 理工学部 正員 林 泰造  
中央大学 理工学部 学生員 ○山田正

## 1. まえがき

非等方性乱流は、剪断力を持つ事により等方性乱流とは、本質的な相違がみられ剪断乱流と呼ばれる。さらに剪断乱流はその特徴により、自由乱流(free Turbulence)と壁面乱流(Wall turbulence)に2分される。水理学上に見られるWall turbulenceの中には、大きく分けて次の3つのTypeが存在する。

- 1) Pipe, closed channel.
- 2) flat plate boundary layer.
- 3) open channel.

上記3, 2 Typeの乱流は、多く共通性質を有しながらも、又本質的な相違も存在している。本研究は3, のTypeの乱流うち、最も基本的で、simpleな乱流構造を持つ1)のTypeの乱流を取り扱うものである。

## 2. 解析

取り扱う乱流場は、Fig. 1に示す様なものである。解析に先立ち、次の3の仮定を設ける。(i)乱れの2次元性 (ii)変動速度は平均流速に比べ十分小さい、云わる“弱い乱れ” (iii)流れ方向に均一且つhomogeneous。

仮定(i)より基礎方程式は2次元、Navier-Stokes eqs. と連続の式を用い、流速、圧力項E

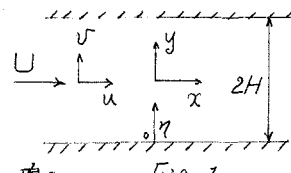


Fig. 1

(i)式の如く表す。

$$\left. \begin{aligned} u &= U(y) + u'(x, y, t) \\ v &= v'(x, y, t) \\ p &= P(x, y) + p'(x, y, t) \end{aligned} \right\} \quad \begin{aligned} \frac{\partial u'}{\partial t} + U \frac{\partial u'}{\partial x} + v' \frac{\partial U}{\partial y} + \frac{1}{S} \frac{\partial p'}{\partial x} &= \nu \nabla^2 u' \quad (2) \\ \frac{\partial v'}{\partial t} + U \frac{\partial v'}{\partial x} &+ \frac{1}{S} \frac{\partial p'}{\partial y} = \nu \nabla^2 v' \quad (3) \\ \frac{\partial u'}{\partial x} + \frac{\partial v'}{\partial y} &= 0 \quad (4) \end{aligned}$$

次に仮定(iii)より基礎方程式と変動項に関する2次以上の方項を無視する事により線型化し、(2), (3), (4)式を得る。

(2), (3)式から圧力の項を消去すると(5)式となる。

(5)式は渦度の変動項に関する2重Fourier変換が定義

する式となる。仮定(iii)により変動速度', v'を振動数nに因する2重Fourier変換が定義

され(6), (7)式を得る。(6), (7)式を連続の式(4)式,

温度の保存式(5)式に代入し, v'に関する方程式(8)式

を得る。又  $\frac{d}{dt} = -i\omega$  (convection vel.) を用い,

$$\text{Parameter } \alpha, u, f \text{ から, } \alpha \text{ は parameter } i\mu u^* + \frac{d^2 v^*}{dy^2} = 0 \quad (8)$$

以下は(10)式を作成する。

下らに(10)式を無次元化する為に、次の如き無次元量

を導入する。 $\eta = 1 - 1y/H$ ,  $U = U(y)/U_{max}$ ,

$\alpha = uH$ ,  $Re = HU_{max}/\nu$ , これらを用いると、

(10)式は、層流の安定不安定問題における、従来式

よく知られており、Orr-Sommerfeld eq. (11)式

$$\frac{\partial}{\partial t} \left[ \frac{\partial^2 U^*}{\partial x^2} - \frac{\partial^2 v^*}{\partial y^2} \right] + U \frac{\partial}{\partial x} \left[ \frac{\partial^2 U^*}{\partial x^2} - \frac{\partial^2 v^*}{\partial y^2} \right] - U' \frac{\partial^2 U^*}{\partial y^2} = \nu \nabla^2 \left[ \frac{\partial^2 U^*}{\partial x^2} - \frac{\partial^2 v^*}{\partial y^2} \right] \quad (5)$$

unsteady term convection production dissipation

$$U^*(u, y, f) = \int_{-\infty}^{\infty} \int_{-\infty}^{\infty} u'(x, y, t) \exp[-i\omega x - ift] dx dt \quad (6)$$

$$v^*(u, y, f) = \int_{-\infty}^{\infty} \int_{-\infty}^{\infty} v'(x, y, t) \exp[-i\omega x - ift] dx dt \quad (7)$$

$$(i \frac{\partial}{\partial t} + U - \alpha^2) \frac{d^2 U^*}{dy^2} + \left( \frac{f}{\mu} + U - z_i \omega \right) \frac{d^2 v^*}{dy^2} = \left[ f u + \alpha^2 U + \frac{d^2 U}{dy^2} - i \omega \frac{d^2 v}{dy^2} \right] U^* \quad (8)$$

$$(i \frac{\partial}{\partial t} + U - \alpha^2) \frac{d^2 v^*}{dy^2} + \left( U - C - z_i \omega \right) \frac{d^2 U^*}{dy^2} - \left[ \alpha^2 (U - C) + U' - i \omega \frac{d^2 U}{dy^2} \right] v^* = 0 \quad (9)$$

$$(U - C)(U'' - \alpha^2 v^*) - U'' v^* = -\frac{i}{\alpha Re} (U''' - 2x^2 U'''' + \alpha^4 U^*) \quad (10)$$

$$(U - C)(U'' - \alpha^2 v^*) - U'' v^* = -\frac{i}{\alpha Re} (U''' - 2x^2 U'''' + \alpha^4 U^*) \quad (11)$$

に相当する。界流の安定不安定問題は rigid な境界条件のもとでの固有値問題となり、取り扱われて来たが、本研究では、well-developed turbulence を表現する式として(11)式を用い、得られる解によると、 $U, U', U''$ に関するスペクトルを作り出し、これに対し、流れの一連のスペクトルの形で境界条件を与える事が当手法の特色といえる。

(1) 式を解く事により、 $\bar{U}^*(d, \eta)$  が得られ、(8)式を用いる事により  $\bar{U}^*$  が得られるが、これらを使用して、 $U, \bar{U}^*$  に掛するスペクトルを作ると、 $S_U(d, \eta) = \langle U^* \bar{U}^* \rangle, S_{\bar{U}}(d, \eta) = \langle \bar{U}^* \bar{U}^* \rangle$  となる。 $=$   $\langle \cdot \rangle$  は ensemble average,  $\sim$  は共役複素数を意味し、スペクトルは one-sided spectrum である。

クロススペクトル  $P_{uv}(d, \eta)$  は次のように表し得る。  $P_{uv} = C_{uv} + i Q_{uv} = \langle \bar{U}^* v^* \rangle$  (13)

次に考えるスペクトルの波数領域を直接、粘性の影響が入ることなく惯性小領域 ( $-5/3$  law) までに限れば、(11)式で動粘性係数の値が、直項つまり右辺 = 0 と考えられる。この事は、 $XR \rightarrow \infty$  つまり非粘性の極限において、現象を考える事に見かけ上は、異なる。このとき基本式は、 $(U - C)(U'' - \bar{U}^2) - U'' U^* = 0$  (14) となる。解析の段階として、次の様にする。(A)  $U'' = 0$  つまり流速分布は直線、(B)  $U = \sqrt{\frac{U}{L}}$  つまり流速分布に指數則を代入して場合の 2 つに分ける。

(A)  $U'' = 0$  の場合は第 30 回年次学術講演会において発表された結果のみを記す。

$$\sqrt{\bar{U}^2} / U_* = 2.2 e^{-\eta} \quad (15)$$

$$\sqrt{\bar{U}^2} / U_* = 1.7 e^{-\eta} \quad (16)$$

ここで  $U_*$  は shear velocity を意味している。

(15), (16) 式と Laufer, Klebanoff 等の実験値とを Fig. 2, Fig. 3 に示す。さらに乱れのマクロスペクトル  $L$  の粗直分布を求める。Laufer 等の実験 (15), 亂流場の大部に於て、乱れの dissipation  $\epsilon$  と Production  $P$  は近似的に等しい事が示されており、つまり

$P = -\bar{U} \bar{U}' \frac{dU}{dy} \approx \epsilon$  が成立している。まず次式が成立していき。 $P = \frac{U_*^3}{R} \left( \frac{1}{H} - 1 \right) \approx \epsilon$ . ここで Taylor によれば、 $\epsilon = A (\bar{U}^2)^{3/2} / L = A' (\frac{3}{2} \bar{U}^2)^{3/2} / L$  が成立し、等方性乱流の場合 Reynolds number

$(\frac{3}{2} \bar{U}^2)^{1/2} L / \nu$  が十分大きいとき  $A' \approx 0.2$  である事が知られる。これを用いると

$$\epsilon = 0.2 \left( \frac{3}{2} \bar{U}^2 \right)^{3/2} \frac{1}{L} = 0.37 \left( \bar{U}^2 \right)^{3/2} \frac{1}{L} \quad (17)$$

となるが、(15) 式と (17) 式で代入して  $\epsilon \frac{H}{U_*^3} = 3.94 \left( \frac{H}{L} \right)^{3/2}$  (18)

を得る。実際の剪断乱流では  $\epsilon \frac{H}{U_*^3} = 5.4 \left( \frac{H}{L} \right)^{3/2}$  (19) となる。(19) 式は  $H \leq 0.6$  で成立し、 $H \geq 0.6$  では  $\epsilon$  はほぼ一定となる。したがって (19) 式左辺への上記の  $P$  との関係を代入すると (20) 式を生む。

$$\frac{L}{H} = \begin{cases} 2.2 \left( \frac{H}{L-1} \right) e^{-3\eta} & H \leq 0.6 \\ 0.55 & 1.27 \leq H \leq 0.6 \\ 1.27 & H \geq 0.6 \end{cases} \quad (20)$$

$P = \epsilon$  の実験は  $H \leq 0.6$  に於て成立しているが、 $H \geq 0.6$  に於ては  $L$  が一定と置けることより、Scale  $L$  も又一定となる。(20) 式と Laufer, 中川らの求めた  $L$  の実験値を Fig. 4 に掲げておく。Scale  $L$  の決定にはどの測定方法と精度によると大きさは異なるが、傾向としては (20) 式は現象をかなり再現していると考えられる。

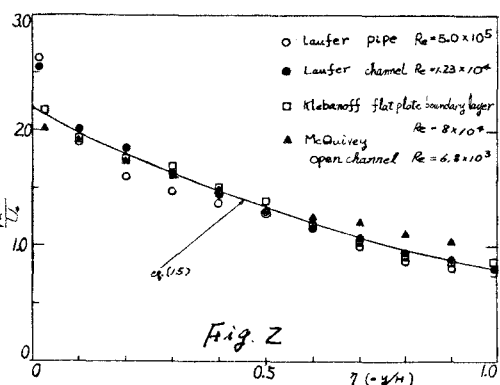


Fig. 2

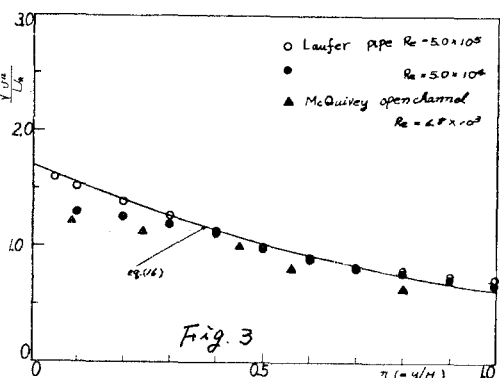


Fig. 3

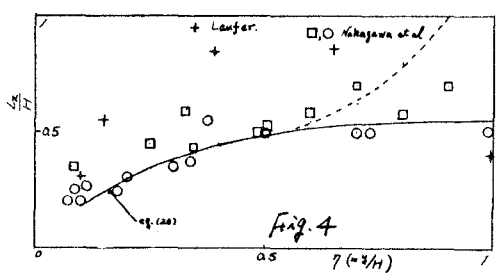


Fig. 4

(B)  $U = \eta \frac{\pi}{n}$  ( $n=6\sim 8$ ) 流速分布に指数則を適用した場合を以下に述べる。

この case の基本式は (14) 式  $(U-C)(U'' - \alpha^2 U^*) - U'' U^* = 0$  であり = 4.1.2 安定性  $\omega$  に於ける Rayleigh eq. と呼ばれ研究されて来たものである。 $U \neq C$  のとき、(14) 式は次の (21) 式となる。ここで convection velocity  $C$  は次の如く表現する。つまり  $C = \zeta U$  とおく。ここに  $\zeta$  は 1 に近いが;

一般には  $\zeta$  とは異なる数値を取る。したがって  $U = \eta \frac{\pi}{n}$  を (21) 式に代入

すると (22) 式となる。(22) 式の一般解は (23) 式で表される。

$\therefore \zeta = I_r, K_r$  はそれぞれ第 1 種、第 2 種の変形 Bessel

関数であり order が  $r$  である。これは (24) で与えられる。

変形 Bessel 関数の order  $r$  と決まる  $\zeta, n, r$  を与えなければ

ればならない。 $n$  と  $r$  は実験より  $6\sim 8$  を取る事がわかつて  $n=3$ 。

さて実際には、従来より多くの研究がなされて来た。また等方性乱流の場合、 $U'/U \ll 1$  が成立する場合に於くは、Taylor は云ふる “frozen turbulence” と仮定を設け、C.C. Lin, Uberoi und Corrsin は “frozen turbulence” が成立する条件を各自提出している。又剪断乱流においては、参考文献の (6)～(14) で掲げられ、多くの研究者が各種の理論的、実験的研究によって相異なく convection vel.  $C$  (5) の定義とその結果を報告している。本研究では Landahl (1967) の研究に基き、 $C = C_R + iC_I$  に分け、 $C_R$  が本來の意味による convection vel.,  $C_I$  は流下方向 (x 方向) の流れの減衰率を表すとする。ニモと  $C_R$  と  $C_I$  は  $0.5\sim 0.95$ ,  $C_I$  は  $0\sim -0.02$  を代入して数値解析を行ふ。こゝで (23) 式で  $U^*$  が求、次より (8) 式に代入して  $U^*$  を求めて (25) 式とする。

$$U^*(\alpha, \eta) = i\eta^{-\frac{1}{2}} [C_1(\alpha) F_1(\alpha, \eta) + C_2(\alpha) F_2(\alpha, \eta)] \quad (25) \quad \therefore F_1, F_2 \text{ は次の (26), (27) 式で表される}.$$

$$F_1(\alpha, \eta) = \frac{1}{2\alpha} (I_r(\alpha\eta) + 2r I_{r+1}(\alpha\eta)) + \eta I_{r+1}(\alpha\eta) \quad (26) \quad F_2(\alpha, \eta) = \frac{1}{2\alpha} (K_r(\alpha\eta) + 2r K_{r+1}(\alpha\eta)) + \eta K_{r+1}(\alpha\eta) \quad (27)$$

次に (12), (13) 式に於ける  $U, U^*$  に関するスペクトル、クロススペクトルを作成する。

$$\begin{aligned} S_V(\alpha, \eta) &= \langle U^* \tilde{U}^* \rangle = \eta \left[ \langle C_1^2(\alpha) \rangle I_r \tilde{I}_r + \langle C_2^2(\alpha) \rangle K_r \tilde{K}_r + \langle C_1 C_2 \rangle (I_r \tilde{K}_r + \tilde{I}_r K_r) \right] \\ &= \eta \left[ A(\alpha) I_r \tilde{I}_r + B(\alpha) K_r \tilde{K}_r + C(\alpha) (I_r \tilde{K}_r + \tilde{I}_r K_r) \right] \end{aligned} \quad (28)$$

$$S_U(\alpha, \eta) = \langle U \tilde{U}^* \rangle = \frac{1}{\eta} \left[ A(\alpha) F_1 \tilde{F}_1 + B(\alpha) F_2 \tilde{F}_2 + C(\alpha) (F_1 \tilde{F}_2 + \tilde{F}_1 F_2) \right] \quad (29)$$

$$P_{UV}(\alpha, \eta) = \langle \tilde{U}^* U^* \rangle = -i \left[ A(\alpha) \tilde{F}_1 I_r + B(\alpha) \tilde{F}_2 K_r + C(\alpha) (\tilde{F}_2 I_r + F_1 \tilde{K}_r) \right] \quad (30)$$

ここで舌しれ、丁本來 stochastic なものが、(28)～(30) 式は  $i$  が  $\eta$  で、 $I_r, K_r, F_1, F_2$  が  $\alpha$  中で deterministic な部分を残す。 $A(\alpha), B(\alpha), C(\alpha)$  が stochastic な部分を残すと想われる。すなはち (28)～(30) 式で  $A(\alpha), B(\alpha), C(\alpha)$  がわかれば、舌しれの空間分布がわかる事となる。すなはち unknown な  $A(\alpha), B(\alpha), C(\alpha)$  を 3 つ求め、次に次の 3 つの (境界) 条件を設ける。(1)  $\eta=1$  (管路中心) に於ける  $S_U(\alpha, 1)$  を与える。(2)  $\eta=1$  に於ける  $S_V(\alpha, 1)$  を与える。(3)  $\eta=1$  に於ける  $-U\bar{V} = 0$  すなはちクロススペクトル  $P_{UV}$  の実部  $C_{uv}=0$  とする。これらの条件を行行列表示すると (31) 式となる。

$$\begin{bmatrix} F_1 \tilde{F}_1 & F_2 \tilde{F}_2 & F_1 \tilde{F}_2 + \tilde{F}_1 F_2 \\ I_r \tilde{I}_r & K_r \tilde{K}_r & I_r \tilde{K}_r + \tilde{I}_r K_r \\ \text{IMAG}(I_r \tilde{F}_1) & \text{IMAG}(K_r \tilde{F}_2) & \text{IMAG}(\tilde{F}_2 I_r + F_1 \tilde{K}_r) \end{bmatrix} \begin{bmatrix} A(\alpha) \\ B(\alpha) \\ C(\alpha) \end{bmatrix} = \begin{bmatrix} S_U(\alpha, 1) \\ S_V(\alpha, 1) \\ C_{uv}=0 \end{bmatrix} \quad (31)$$

$\therefore \text{IMAG}(\ )$  は ( ) 内関数の虚部を表す。

(31) 式の右辺の  $S_u, S_v$  は 2 重 Fourier 変換の本來の意味から考へて、それそれ 3 次元スペクトルを与えなければならぬが、非等方性乱流の 3 次元スペクトルは知られていない。von Kármán の提唱した (32) 式の形で与えた。  

$$S(\frac{\alpha}{\alpha_0}) = \text{const.} \cdot \frac{(\alpha/\alpha_0)^4}{[1 + (\alpha/\alpha_0)^2]^{1/2}} \quad (32)$$

式(1) 乱流の場の特徴的波数  $\alpha$  は  $1/L$  の order 2 である。L と L' は Lauter の実験より与えられる。

(31) 式を解く事により得られた  $A(\xi), B(\xi), C(\xi)$  を用いて

(28), (29) 式へ代入し、任意の  $\zeta$  へ値に対する U のスペクトル形状の変化を示すものが Fig. 5 である。さらに  $\int_0^\infty S_u(\alpha) d\alpha = \bar{U}$  により U, V の R.M.S. を求めたのが、Fig. 6, 7 である。又 Fig. 8 は U, V のスペクトルの比つまり  $S_v/S_u$  を示したものである。

なお本研究で用いた複素オーダー変形ベッセル関数は著者らの知る限りではその値が公表されていない。数値計算により級数展開式を忠実に実行した。その際必要となる複素 argument のガウス関数の計算は東大計算センターより公表エイムスライツライターを使用して。

3. 考察 上記の計算手法によると得られえた結果は従来、実験報告とかなりの良い一致をみせているものの細部においてはなお若干のズレが見られる。その理由としては以下のものが考えられる。(1) 当研究では乱れを 2 次元の運動と考へてからへてし、乱れは本質的に 3 次元である。(2) 基本式には乱れ速度に関する非線型項を含まない。よって高周波側への energy 伝達の機構を含まない。(平均流との相互作用は含んでいる) (3) convection velocity 自身もスペクトルの関数でなければならないが、今回の解析では一定と置いてある。上記諸理由は今後さらに研究していく所存である。

#### 4. 参考文献

- 1) Lauter, J. NACA TR 1174 1954
- 2) Klebanoff, P.S. NACA TR 1247 1955
- 3) Ljutkher, V.M. Proceedings XII th IAHR Congress (Fort Collins) Vol 2. 1967
- 4) Lin, C.C. Quart. Appl. Math. 10. 1952
- 5) Uberoi, M.S., Corrsin, S. NACA TR 1142, 1953
- 6) Favre, A.J. et al. J. Fluid Mech. 2, 3. 1957, 1958
- 7) Corcos, G.M. J. Fluid Mech. 18. 1964.
- 8) W. Ellsworth, W.W. et al. J. Fluid Mech. 14. 1962
- 9) Fisher, M.J. et al. J. Fluid Mech. 18. 1964
- 10) Lumley, J.L. Phys. Fluids 8. 1965
- 11) Landahl, M. J. Fluid Mech. 29. 1967
- 12) Wills, J.A.B. J. Fluid Mech. 45. 1970
- 13) Comte-Bellot, G. et al. J. Fluid Mech. 78. 1971
- 14) Taylor, G.I. Proc. Roy. Soc. London 157A 1936
- 15) Kármán, Th. von. J. Marine Research 7. 1948

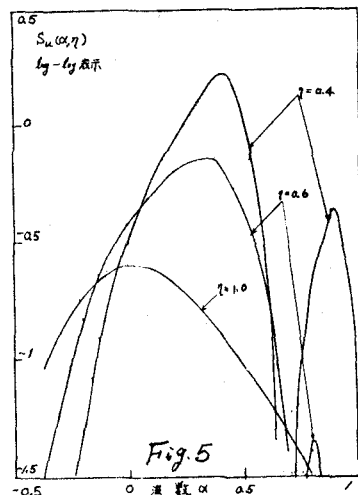


Fig. 5

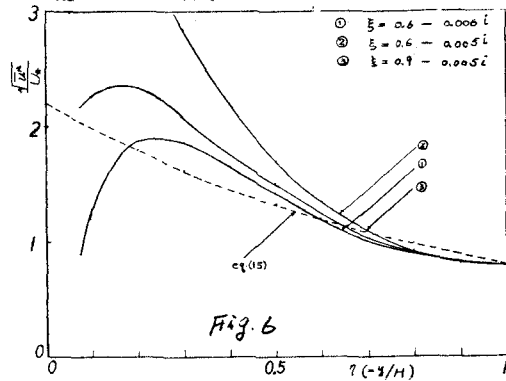


Fig. 6

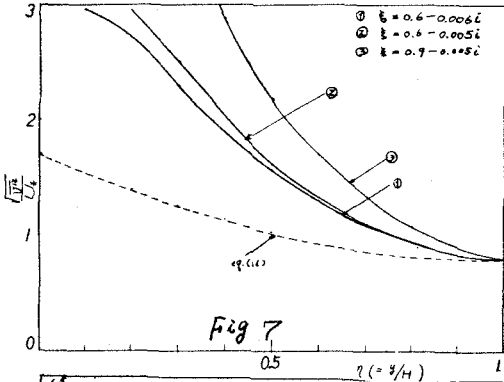


Fig. 7

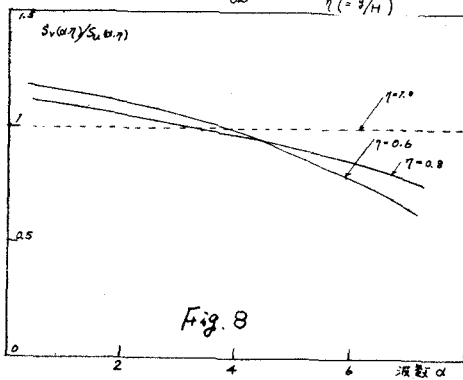


Fig. 8